

شبیه‌سازی لایه‌بندی حرارتی و غلظت اکسیژن محلول با کاربرد مدل CE QUAL W2 (مطالعه موردی: سد گرشا)

مریم کیانی صدر^{۱*}

۱. استادیار گروه محیط زیست، دانشگاه آزاد اسلامی،
واحد همدان، همدان، ایران

***مسئول مکاتبات:**

mkianysadr@gmail.com

کد مقاله: ۱۳۹۶۰۲۰۳۳۷

تاریخ دریافت: ۱۳۹۴/۰۴/۲۱

تاریخ پذیرش: ۱۳۹۵/۰۲/۳۰

این مقاله برگرفته از طرح پژوهشی است.

چکیده

بروز فرآیندهایی نظیر لایه‌بندی حرارتی و تنفسی گرایی در مخازن موجب افت شدید کیفیت آب و عدم تأمین حد مطلوب برای مصارف مختلف و به مخاطره افتادن حیات آبی اکوسیستم پایین دست می‌گردد. امروزه مخزن بسیاری از سدهای کشور با مشکلات کیفیت آب مواجه هستند و کاهش اکسیژن محلول در پایین دست در شرایط کم‌آبی و فصول گرم شاید از مهم‌ترین اثرات منفی این مخازن می‌باشد. مدل‌های شبیه‌سازی کیفیت آب مخزن ابزار مناسبی در پیش‌بینی کیفیت آب و برآورد اثر آلودگی‌های کمی کردن میزان و شدت اثرات زیستمحیطی پس از شروع بهره‌برداری با در نظر گرفتن شرایط فیزیکی و اقلیمی مخزن و جریان رودخانه ورودی می‌باشد. سد موردمطالعه گرشا در بالادست مخزن سد کوران بوزان در حدود ۶۵ کیلومتری جنوب شرقی شهرستان کرمانشاه قرار می‌گیرد. با توجه به اینکه در مسیر عبور رودخانه بالادست تا محل سد منابع آلودگی متعددی وجود دارد هدف تحقیق حاضر بررسی شبیه‌سازی لایه‌بندی حرارتی و اکسیژن محلول در سد مذکور در راستای انجام مطالعات زیستمحیطی سد گرشا جهت پیشگیری از ایجاد آثار زیان‌بار احداث سد بر محیط زیست منطقه می‌باشد که مطالعات مذکور در سال ۱۳۹۳ انجام پذیرفت. در این راستا ابتدا مدل هیدرودینامیک مخزن سد گرشا به وسیله نرم‌افزار CE QUAL W2 ساخته و کالیبره شد و برای شبیه‌سازی لایه‌بندی حرارتی و اکسیژن محلول در سد مذکور مورد استفاده قرار گرفت. مطالعات مربوط به سال ۹۳ می‌باشد. نتایج نشان‌دهنده ایجاد لایه‌بندی حرارتی در فصل تابستان می‌باشد.

واژگان کلیدی: لایه‌بندی حرارتی، اکسیژن محلول، سد گرشا، CE QUAL W2

مقدمه

مخازن سدها یکی از مهم‌ترین منابع آب می‌باشند که برای اهداف ویژه‌ای مانند تأمین آب شهری، کشاورزی، آبیاری و ... مورد استفاده قرار می‌گیرند. یکی از جنبه‌های مهم پیش‌بینی اثرات زیستمحیطی احداث یک سد، پیش‌بینی کیفیت آب مخزن و جریان خروجی از مخزن پس از بهره‌برداری می‌باشد. در این راستا اطلاعات جامع و دقیق درخصوص کیفیت مخازن سدها می‌تواند عامل مهمی در سیاستگذاری‌های کلان باشد. بروز فرآیندهایی نظیر لایه‌بندی حرارتی و تنفسی گرایی در مخازن موجب افت شدید کیفیت آب و عدم تأمین حد مطلوب برای مصارف مختلف و به مخاطره افتادن حیات آبی اکوسیستم پایین دست می‌گردد. لایه‌بندی یک‌روند مهم تأثیرگذار بر کیفیت آب دریاچه‌ها و مخازن می‌باشد (VSPSC, 2003). لایه‌هایی از جرم‌های سیال که به وسیله اختلاف در دانسیته، درجه حرارت، مواد محلول و یا مواد معلق ایجاد می‌گردد را لایه‌بندی آب عمق مخزن می‌گویند. در اغلب دریاچه‌ها لایه‌بندی نتیجه تعادل حرارتی بین آب نگهداری شده در مخزن و دیگر ورودی‌ها به مخزن می‌باشد (Rockwell, 2005). الگوی لایه‌بندی حرارتی مخازن با توجه به موقعیت و ارتفاع از سطح دریا متغیر است. این تقسیم‌بندی به شرح زیر آمده است:



دریاچه مولومیکتیک: در طول سال کل ستون آب مخلوط است.

دریاچه مرومویکتیک: دریاچه‌هایی که به طور کامل مخلوط نمی‌شوند و یک‌لایه کاملاً ساکن و عمیق دارند. اختلاط در این دریاچه‌ها ممکن است بر اثر پدیده‌های شیمیایی و بیولوژیک و یا فیزیکی اتفاق بیافتد. هیپولیمینیون این گونه دریاچه‌ها معمولاً فاقد اکسیژن است.

دریاچه‌های مونومیکتیک: فقط یکبار در سال مخلوط می‌شوند. این دریاچه‌ها مونومیکتیک سرد نامیده می‌شوند. اگر دریاچه در ترازهای پایین‌تر و عرض‌های جغرافیایی کمتر قرار داشته باشد، دمای دریاچه هرگز از ۴ درجه پایین‌تر نمی‌رود و ممکن است در ماههای تابستان لایه‌بندی تشکیل شده و در زمستان نیز اختلاط کامل رخ دهد. این دریاچه‌ها منومیکتیک گرم نامیده می‌شوند.

دریاچه‌های دیمکتیک: دوبار در سال مخلوط می‌شوند.

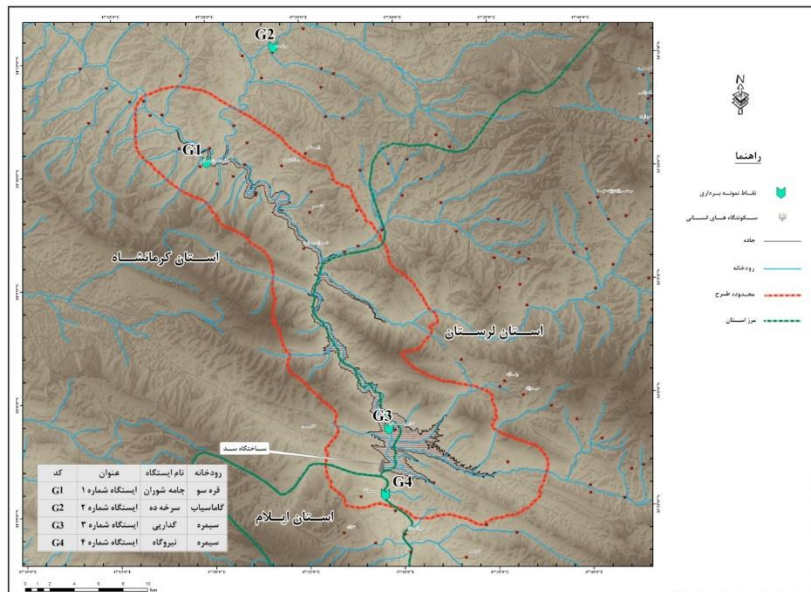
دریاچه‌های پلی‌میکتینگ: دارای اختلاط‌های متعدد و یا حتی پیوسته هستند. توزیع قائم کیفی این دریاچه‌ها معمولاً متغیر است.

دریاچه‌های اولیگومیکتیک: این دریاچه‌ها که در مناطق استوایی بیشتر دیده می‌شوند. غالباً لایه‌بندی شده‌اند (به طور پیوسته) و بندرت مخلوط می‌شوند.

دریاچه‌های امیکتیک: این دریاچه‌ها به دلایلی مانند تمرکز بسیار بالای مواد محلول و درنتیجه چگالی معمولاً مخلوط نمی‌شوند (Caruso, 2000).

روش‌های تشخیص و اندازه‌گیری لایه‌بندی حرارتی را در دو گروه تقسیم‌بندی کرد: ۱- اندازه‌گیری مستقیم دما و کیفیت آب در لایه‌های مختلف مخزن که در مورد مخازن موجود به کار می‌رود. ۲- استفاده از مدل‌های شبیه‌سازی کیفی برای تخمین پتانسیل لایه‌بندی حرارتی که این مورد برای سدهای پیشنهادی یا مخازن فاقد اندازه‌گیری‌های میدانی کاربرد دارد (Palmer, 2001). روش دوم یعنی مدل به طور کلی ایده‌ای از فرآیندهای دنیای واقعی محسوب می‌شود و قابلیت اساس روابط و معادلات بین اجزا و مشخصه‌های فیزیک و شیمیایی و بیولوژیکی آب به شبیه‌سازی روابط علت و معلوی بین آلاینده‌ها و کیفیت آب می‌پردازد. بنابراین رویکرد مدل‌سازی در پیش‌بینی اثرات زیست‌محیطی احداث سدها یک رویکرد مهندسی با تکیه بر نتایج تحلیلی فرآیندها و روابط اجزا مؤثر در این مسئله است که در تعیین دقیق‌تر اثرات اهمیت دارد. بنابراین مدل‌های شبیه‌سازی کیفیت آب مخزن ابزار مناسبی در پیش‌بینی کیفیت آب و برآورد اثر آلودگی‌ها و کمی کردن میزان و شدت اثرات زیست‌محیطی پس از شروع بهره‌برداری با در نظر گرفتن شرایط فیزیکی و اقلیمی مخزن و جریان رودخانه ورودی می‌باشد (Gelda *et al.*, 2000). برای اولین بار در سال ۱۹۵۳ مقوله‌ی لایه‌بندی حرارتی در ایالات متحده آمریکا توسط سازمان ارش آمریکا بر روی مخازن آب موربررسی قرار گرفت. Kurup و همکاران در سال ۲۰۰۰ به مقایسه دو مدل W2 TISAT و CE QUAL پرداختند. نتایج مطالعه آنان نشان داد که مدل QUAL W2 نتایج دقیق‌تری نسبت به مدل TISAT به ویژه در خصوص لایه‌بندی فصلی چگالی ارائه می‌دهد (Kurup *et al.*, 2000). Kuo و همکاران در سال ۲۰۰۶ به مدل‌سازی لایه‌بندی حرارتی آب در چن سد با استفاده از مدل CE QUAL W2 پرداختند و نتایج قابل قبولی به دست آورده‌اند (Kuo *et al.*, 2005). Diogoa و همکاران در سال ۲۰۰۸ نیز به مقایسه دو مدل CE QUAL W2 و SNTEMP برای شبیه‌سازی لایه‌بندی حرارتی پرداختند. نتایج این مطالعه نیز نشان‌دهنده دقیق‌تر بودن نتایج مدل CE QUAL W2 می‌باشد (Diogoa *et al.*, 2008). Liu و Huang (et al., 2008) نیز در سال ۲۰۰۸ با استفاده از مدل CE QUAL W2 به تعیین پارامترهای مدل در مدل‌سازی کیفیت آب پرداختند. هدف از این مطالعات شبیه‌سازی لایه‌بندی حرارتی در فصول مختلف در مخزن سد گرشا می‌باشد. با توجه به خصوصیات هندسی مخزن سد گرشا مدل ce-qual-w2 برای شبیه‌سازی لایه‌بندی حرارتی مخزن سد گرشا پیشنهاد شد. مهم‌ترین نکاتی که برتری مدل ce-qual-w2 را نسبت به سایر مدل‌ها مشخص می‌نماید موارد زیر می‌باشد: سازگاری شکل هندسی مخزن با شرایط دو بعدی، در نظر گرفتن توبوگرافی بستر (بسیمتری) در مدل ce-qual-w2 که اطلاعات آن موجود است، پیش‌بینی بهتر شرایط لایه‌بندی حرارتی مخزن با توجه به داده‌های هواشناسی و جریان ورودی. سد گرشا باهدف تولید انرژی بر قابی و کنترل و تنظیم جریان‌های سطحی بر روی رودخانه سیمه‌ه که از سرشاره‌های اصلی رودخانه کرخه می‌باشد، احداث خواهد شد. رودخانه گرشا، شاخه کوچکی است که به قره‌سو متصل می‌گردد. محل در نظر گرفته شده سد گرشا، محدوده‌ای

پس از اتصال گرشا به قره سو می‌باشد. سد گرشا از نوع مخزنی است و با احداث آن انرژی کل تولید شده سالانه در حدود ۴۸۶ گیگاوات ساعت خواهد بود. از این مقدار ۳۳۸ گیگاوات ساعت در سال انرژی مطمئن و ۱۴۸ گیگاوات ساعت در سال انرژی ثانویه می‌باشد. سد گرشا با آورد متوسط ۲۰۹۴ میلیون مترمکعب بر سال در حال مطالعه می‌باشد. حجم آورد رسو ۵۰ ساله آن $296/5$ میلیون مترمکعب برآورده شده است. طرح حجم تنظیمی مخزن سد حدود $1445/4$ میلیون مترمکعب می‌باشد. نوع سد، سنگریزه‌ای با هسته رسی و ارتفاع آن از بستر حداکثر ۱۵۳ متر می‌باشد. طول تاج سد حدود ۶۰۰ متر و سریز آن از نوع آزاد می‌باشد. همچنین سیستم انحراف سد از نوع فرازبند و تونل انحراف پیش‌بینی شده است. تعداد تونل‌های انحراف دو رشته و محل قرارگیری آن در جناح چپ می‌باشد. نوع فرازبند خاکی و تراز تاج آن ۱۱۳۳ متر از سطح دریا است. قطر تونل‌های انحراف نیز ۹ متر و طول هر یک از آن‌ها ۷۰۰ متر است. اطلاعات فنی مربوط به سد گرشا در جدول ۱ ارائه شده است. نقشه موقعیت مخزن سد گرشا به همراه ایستگاه‌های نمونه‌برداری آب که نتایج آن به عنوان داده‌های ورودی نرم‌افزار مورداستفاده قرار گرفت، در شکل ۱ ارائه شده است.



شکل ۱: نقشه موقعیت مخزن سد گرشا در حوزه آبخیز به همراه ایستگاه‌های نمونه‌برداری.

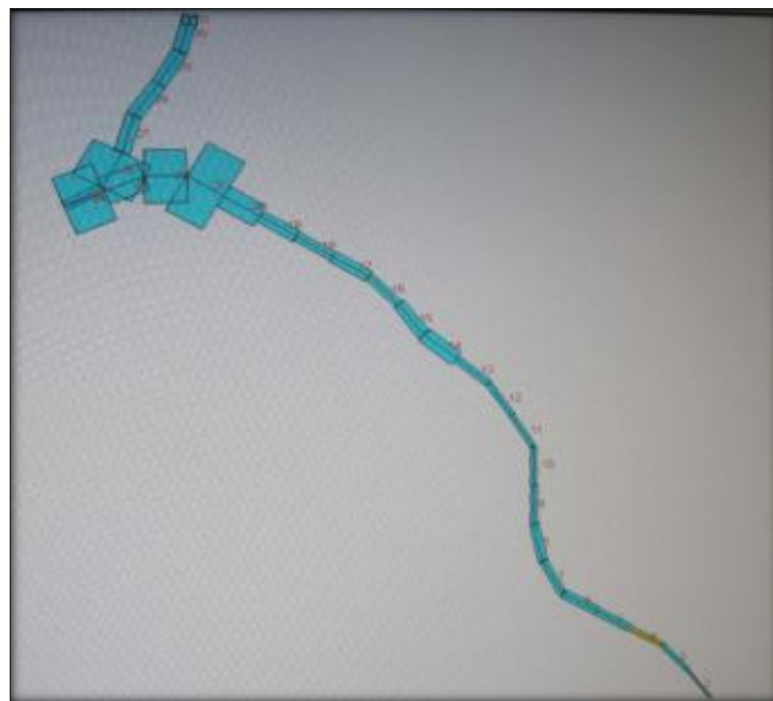
جدول ۱: مشخصات سد گرشا.

ردیف	عنوان	مقدار
۱	عرض جغرافیایی	$۳۳^{\circ} ۵۷'$
۲	طول جغرافیایی	$۴۷^{\circ} ۲۸'$
۳	نوع سد	سنگریزه‌ای با هسته رسی
۴	تراز نرمال (متر از سطح دریا)	۱۲۴۴
۵	تراز حداقل بهره‌برداری (متر از سطح دریا)	۱۲۰۰
۶	تراز پایین تراز آبگیر نیروگاه (متر از سطح دریا)	۱۱۶۷
۷	تراز کف مخزن (متر از سطح دریا)	۱۰۹۷
۸	طول دریاچه مخزن سد در تراز نرمال	۴۷/۷۳KM

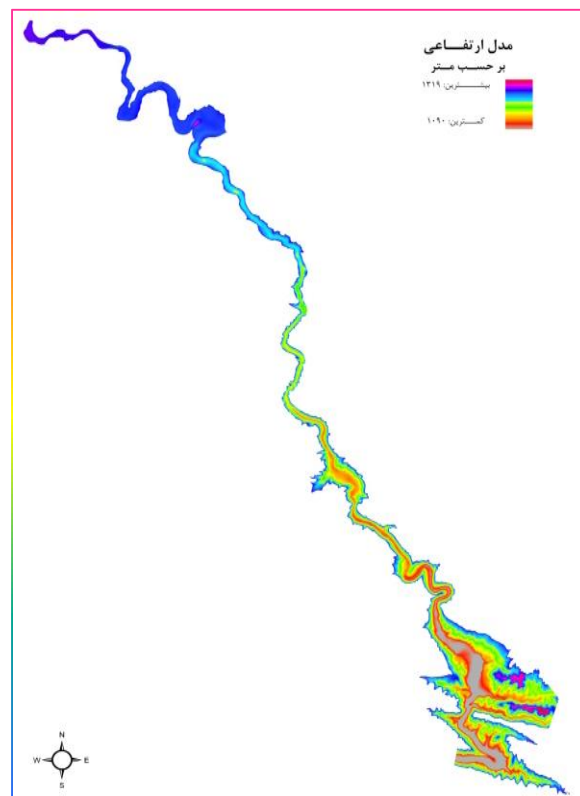
ردیف	عنوان	مقدار
۹	متوسط دبی ورودی به مخزن	۶۵/۸۳ مترمکعب بر ثانیه در ۲۴ ساعت
۱۰	عمق متوسط مخزن	۵۹/۵ متر
۱۱	حجم مخزن در تراز نرمال زمان بهره‌برداری	۱۰۸۸/۷۵ میلیون مترمکعب
۱۳	حجم کل مخزن	۱۳۸۵ میلیون مترمکعب
۱۴	متوسط درازمدت آبدهی طبیعی رودخانه سیمه‌ه در محل گرشا	۶۶/۵۴ (مترمکعب بر ثانیه)
۱۵	تبیخیر از سطح آزاد آب (میلی متر)	۱۴۷۴
۱۶	میانگین بارندگی سالانه (میلی متر)	۳۸۴/۷

مواد و روش‌ها

مدل CE QUIL W2 توسط گروه مهندسین ارش آمریکا توسعه یافته که قابلیت شبیه‌سازی فرآیندهای هیدرودینامیکی و کیفی را دارد. این مدل برای مخازن توسعه یافته است ولی می‌توان برای رودخانه‌ها و خورها نیز به کار رود. این مدل دوبعدی از روش حل اختلاف محدود استفاده نموده و قابلیت شبیه‌سازی توزیع قائم و طولی انرژی حرارتی و مواد شیمیایی و بیولوژیکی انتخاب شده در توده آبی را در طول زمان دارد. این مدل قادر به شبیه‌سازی حجم، سطح آب، چگالی، سرعت‌های قائم و طولی و غلظت اجزای کیفی آب می‌باشد. این مدل برای مخازن و دریاچه‌های نسبتاً طولانی و باریک جهت نمایش پارامترهای کیفی به صورت نیمرخ قائم و طولی بسیار مناسب می‌باشد (Zhang and Johnson, 2014). مدول شبیه‌سازی هیدرودینامیکی جریان غیردائمی، تغییرات چگالی و تأثیرات آن را بر جریان اعمال می‌کند. مدول کیفی مدل مذکور قابلیت مدل سازی حدود ۳۰ پارامترهای فیزیکی (مثل دما و جریان) و فاکتورهای شیمیایی (مثل مواد مغذی) را مدل سازی می‌نماید. تراز سطح آب به صورت غیرصریح (implicit) محاسبه می‌شود و لذا محدودیت امواج سطحی ثقلی بر گام زمانی حذف می‌شود. این بدان معنا است که اجازه گام‌های بزرگ‌تر زمانی در دوره شبیه‌سازی سبب کاهش زمان محاسبات خواهد شد (Chung and J.K, 2006). حداقل داده‌های اصلی موردنیاز نرم‌افزار عبارت بودند از: توبوگرافی منطقه و نقشه‌های بسیمتری مربوط به هندسه مخزن، سری زمانی دمای آب ورودی، سری زمانی دبی ورودی، پارامترهای کیفی آب شیرین و شور، اطلاعات هواشناسی شامل (دماه هوای دمای نقطه شبنم، سرعت باد، جهت باد، پوشش ابر، تغییرات تراز آب از ایستگاه هواشناسی)، نیمرخ‌های دما و سایر پارامترهای کیفی موردنیاز (برای شرایط اولیه)، ضریب اضمحلال نور در عمق، نرخ واکنش‌های شیمیایی و بیولوژیکی شامل: نرخ کاهش نیترات ($1/day$), نرخ دنیتریفکاسیون نیترات ($1/day$), غلظت اولیه رسوب (mg/l), تراز جزر و مدي در دهانه به عنوان شرایط مرزی پایین دست (Cole and Wells, 2008). جهت تدوین مدل شبیه‌سازی کیفی منتخب برای مطالعات حاضر، شکل مخزن موردنرسی قرار گرفت. شکل مخزن گرشا به صورت یک شاخه بوده، مرحله اول در تدوین مدل، قطعه‌بندی شکل مخزن به صورت مناسب ۱۵۰۰ تا ۴۰۰ متر می‌باشد. برای این منظور مخزن سد گرشا به 30 قطعه 1500 متری و دو قطعه 400 متری تقسیم شد (شکل ۲). در مرحله بعدی با استفاده از این قطعات محاسبه گردد که برای این منظور نقشه توبوگرافی بستر مخزن به کار گرفته شد. با پردازش این منحنی‌های تراز در محیط GIS، مدل رقومی هر یک از قطعات به صورت ارائه شده در شکل ۳ تهیه و روابط سطح-ارتفاع برای هر یک از این قطعات محاسبه گردید.



شکل ۲: نمایی از قطعه‌بندی مخزن سد گرشا توسط نرم‌افزار CE QUALE W2.



شکل ۳: مدل رقومی ارتفاع بستر مخزن.

جهت بررسی تغییرات کیفی مخزن در عمق، لازم است که دریاچه مخزن به لایه‌های با عمق‌های مناسب تقسیم‌بندی گردد. لذا با توجه به قابلیت‌های مدل لایه‌های مخزن در ۲ رده‌ی ۳ متری و ۲/۵ متری در جهت عمودی تقسیم‌بندی شده‌اند. دولایه عمقی ابتدایی به فواصل ۲/۵ متری و ۳/۸ لایه باقیمانده به فواصل ۳ متری تقسیم‌بندی شدن. برای ساخت مدل داده‌های سال آبی ۹۳ مورداستفاده قرار گرفت. گام بعدی در شبیه‌سازی رژیم حرارتی مخزن سد گرشا کالیبراسیون مدل جهت تنظیم آن برای شرایط حاکم بر محدوده مطالعاتی می‌باشد. درواقع هدف از کالیبراسیون مدل دستیابی به ضرایب درستی از مدل برای دستیابی به بهترین نتایج در مقایسه با داده‌های مشاهده شده می‌باشد. با توجه به اینکه هدف از این مطالعه شبیه‌سازی مخزن سد در حال مطالعه گرشا است لذا تنها کالیبراسیون ممکن به پارامترهای هیدرولیکی محدود می‌شود. جهت کالیبراسیون هندسه مخزن نیز از نتایج بدست‌آمده حاصل از نقشه‌های رقومی قطعات استفاده شد، بدین‌صورت که حجم قطعات در ترازهای مختلف محاسبه و این مقادیر با فرمت ویژه وارد مدل گردید. با اجرای فایل آماده‌سازی مدل، نتایج محاسبات حجم - ارتفاع مخزن، توسط مدل در یک فایل ذخیره شد. با مقایسه این نتایج و رابطه حجم - ارتفاع واقعی مخزن، مقادیر حجم - ارتفاع ورودی در صورت وجود اختلاف معنی‌دار، اصلاح می‌گردد. با توجه به اینکه در این مطالعات روابط سطح، حجم - ارتفاع بدست آمده با استفاده از نقشه رقومی قطعات محاسبه و وارد مدل گردید، لذا حتی در مرحله اول نیز اختلاف معنی‌داری با رابطه واقعی نشان نداد، با این‌حال، جهت تدقیق سطح - حجم - ارتفاع مدل و روابط ورودی مدل کالیبره گردید. یکی از قابلیت‌های مهم مدل ce-qual-w2 شبیه‌سازی لایه‌بندی حرارتی و پیش‌بینی تغییرات دمایی در راستای قائم مخزن در شرایط مختلف می‌باشد. میزان تبادل گرمایی بین آب و محیط در پروفیل حرارتی مخزن بسیار مهم است. این مقدار شامل اجزا مشخص شده در رابطه ۱ می‌باشد:

$$H_n = H_s + H_a + H_e + H_c - (H_{sr} + H_{ar} + H_{br})$$

که در آن:

$$(Wm^{-2}) = H_n = \text{نرخ خالص تبادل گرمایی در امتداد سطح آب}$$

$$(Wm^{-2}) = H_s = \text{تشعشع با طول موج کوتاه لحظه‌ای}$$

$$(Wm^{-2}) = H_a = \text{تشعشع با طول موج بلند لحظه‌ای}$$

$$(Wm^{-2}) = H_{sr} = \text{اشعه با طول موج کوتاه منعکس شده}$$

$$(Wm^{-2}) = H_{ar} = \text{اشعه طول موج بلند منعکس شده}$$

$$(Wm^{-2}) = H_{br} = \text{اشعه برگشتی از سطح آب}$$

$$(Wm^{-2}) = H_e = \text{افت ناشی از تبخیر}$$

$$(Wm^{-2}) = H_c = \text{هدایت گرمایی}$$

تشعشع طول موج کوتاه خورشید یا به طور مستقیم اندازه‌گیری می‌شود و یا از روابط زاویه تابش خورشید و پوشش ابر محاسبه می‌شود. مقدار تشعشع طول موج بلند از دمای هوا و پوشش ابر و فشار بخار هوا با استفاده از فرمول Brants در مدل محاسبه می‌شود. در پروژه گرشا با توجه به عدم اندازه‌گیری این مقادیر توسط مدل محاسبه شده‌اند.

معادله سایر پارامترهای موجود در رابطه ۱ به شرح زیر می‌باشند:

$$H_{br} = \epsilon \sigma (T_s + 273.15)^4 \quad \text{رابطه ۱: مقدار اشعه برگشتی از سطح آب}$$

که در آن E مقدار قابلیت انتشار آب و σ ثابت استفان بولتزمن، T_s مقدار دمای آب بر حسب درجه سیلیسیوس است.

$$H = f(W) (e_s - e_a) \quad \text{رابطه ۲: افت ناشی از تبخیر}$$

f: برابر تابع سرعت تبخیری باد و e_s معادل مقدار فشار بخار اشباع در سطح آب و e_a مقدار فشار بخار اتمسفری می‌باشد.

$$H = C_c f(W) (T_s - T_a)$$

رابطه ۳: هدایت گرمایی

C_c ضریب Bowen و T_a دمای هوا (درجه سانتی گراد) می‌باشد.

$$H(z) = (1 - \mathfrak{R})H, e^{-n}$$

رابطه ۴: تشعشع با طول موج کوتاه در عمق Z

که β درصد جذب اشعه در سطح آب و η ضریب کاهش و H_s مقدار اشعه خورشید در سطح می‌باشد.

$$f(w) = a + bw^c$$

رابطه ۵

a , b و c ضرایب تجربی و W سرعت باد در ۲ متری سطح زمین است که این ضرایب بیشترین عدم قطعیت در مدل را ایجاد می‌کنند (Cole and Wells, 2006). تحلیل حساسیت مدل یکی از روش‌های تحلیل عدم قطعیت مدل است (Dai et al., 2012) و در این روش جهت بررسی عدم قطعیت مدل، پارامترهایی که در پروفیل لایه‌بندی حرارتی مخزن تأثیر دارند تعیین گردیده و با توجه به دامنه تغییرات مجاز این پارامترها برای حدود بالا و پایین آن در مدل اجرا گردید و نتایج آن مورد بررسی قرار گرفته است. درنهایت مشخص گردید ۲ پارامتر اصلی درجه حساسیت بیشتری نسبت به بقیه پارامترها در لایه‌بندی حرارتی دارند، که عبارت‌اند از:

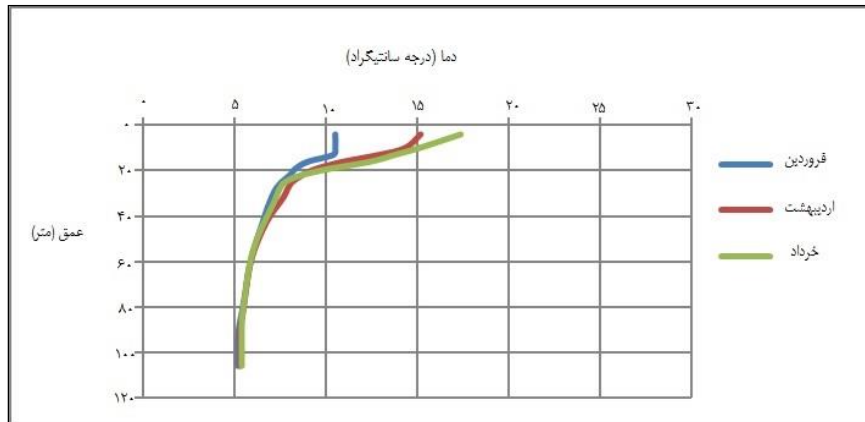
ضریب پوشش باد (WSC): این ضریب یکی از مؤثرترین پارامترها در دمای آب می‌باشد. نتایج نشان می‌دهد که با افزایش و یا کاهش مقدار WSC به میزان ۰/۰ دمای سطح آب در دولایه به میزان حدود ۱ درجه به صورت معکوس تغییر می‌یابد.

ضرایب تجربی a.b.c در تابع سرعت باد: این ضرایب از تأثیرگذارترین پارامترهای لایه‌بندی حرارتی می‌باشند، با توجه به رابطه ۵ تأثیر پارامتر C به دلیل توانی بودن بیشتر از دو پارامتر a.b می‌باشد. به طور کلی افزایش این پارامترها به دلیل افزایش اثر سرعت باد می‌باشد و موجب کاهش دمای آب تا عمق دولایه می‌گردد.

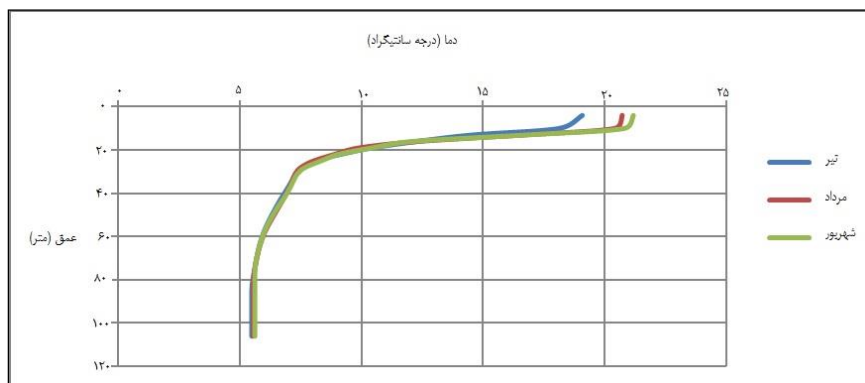
نتایج

بررسی نتایج حاصل از شبیه‌سازی حرارتی نشان می‌دهد که آغاز لایه‌بندی حرارتی مخزن سد گرشا فصل بهار می‌باشد (شکل ۴). به گونه‌ای که در ابتدای این فصل لایه‌بندی بسیار ضعیفی در مخزن شکل می‌گیرد. در اردیبهشت‌ماه براثر وزش باد اختلاط عمودی آب تا حدودی باعث کاهش تفاوت دمایی سطح و کف مخزن می‌گردد. اما به تدریج با افزایش دمای هوا نسبت به سطح اختلاط عمودی آب، تفاوت دمایی در حدود ۱۰ درجه سانتی گراد در خرداماه ایجاد می‌شود. اما هنوز لایه‌بندی حرارتی مشخصی در مخزن سد ایجاد نگردیده است. دلایل اصلی تغییرات دما در سطح آب تماس حرارتی با اتمسفر و تغییرات میزان تابش خورشیدی است. انتقال حرارت از سطح به عمق بیشتر تحت تأثیر تشعشعات خورشیدی، تشعشعات موج بلند اتمسفر، جریانات حرارتی مرتبه بارندگی، جریانات ورودی و خروجی سطحی و زیرزمینی و تماس حرارتی با بستر دریاچه است (Imboden and Wu est, 1995). با شروع تابستان و گرم شدن هوا تفاوت دمایی سطح و کف افزایش می‌یابد و شرایط برای ایجاد لایه‌بندی حرارتی شدید ایجاد می‌گردد (شکل ۵). به این نحو که مقدار حرارت جذب شده توسط آب سطحی بیشتر می‌شود اما از آنجاکه این حرارت جهت یکسان کردن توزیع عمودی درجه حرارت کافی نمی‌باشد، لذا باعث تقویت لایه‌بندی حرارتی می‌گردد. این روند تا اوایل پاییز ادامه می‌یابد و با کاهش دمای هوا و دمای آب ورودی، دمای آب سطحی مخزن نیز کاهش می‌یابد (شکل ۶). با کاهش تدریجی دمای هوا لایه‌بندی تقریباً به قوی‌ترین حالت خود می‌رسد. این امر در آبان ماه به خوبی مشهود می‌باشد. در آذرماه با کاهش بیش از حد انرژی حرارتی ورودی به مخزن و سرد شدن لایه سطحی و وزش باد از سوی دیگر اختلاط شدید لایه سطحی با لایه‌های پایینی باعث کاهش تفاوت دمایی آب سطحی و کف می‌گردد.

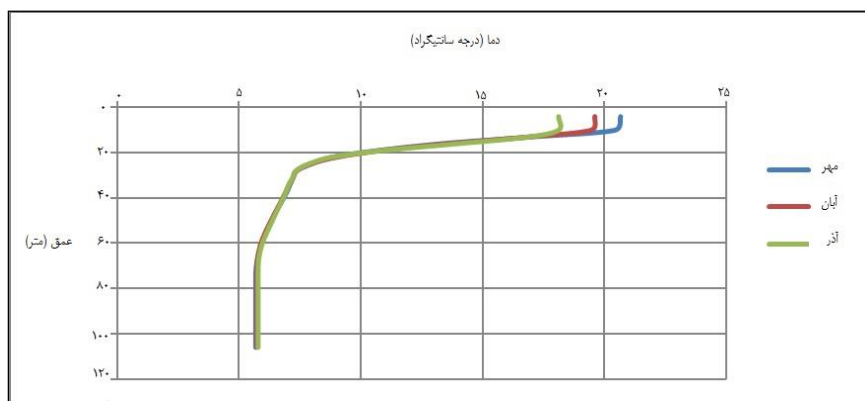
این امر سبب کاهش تفاوت دمایی می‌شود. با شروع فصل زمستان و کاهش شدید دمای هوا و دمای آب ورودی، دمای آب در تمامی مخازن به تدریج همگن شده و در اوایل اسفندماه گردش کامل رخ می‌دهد (شکل ۷).



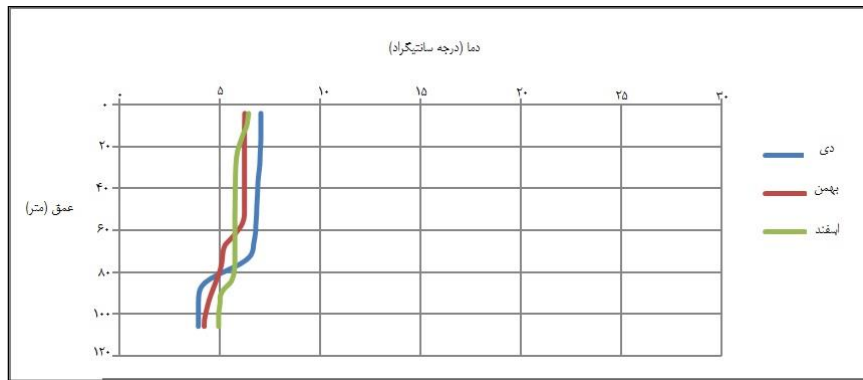
شکل ۴: پروفیل دما در نزدیکی محور سد گرشا در فصل بهار.



شکل ۵: پروفیل دما در نزدیکی محور سد گرشا در فصل تابستان.

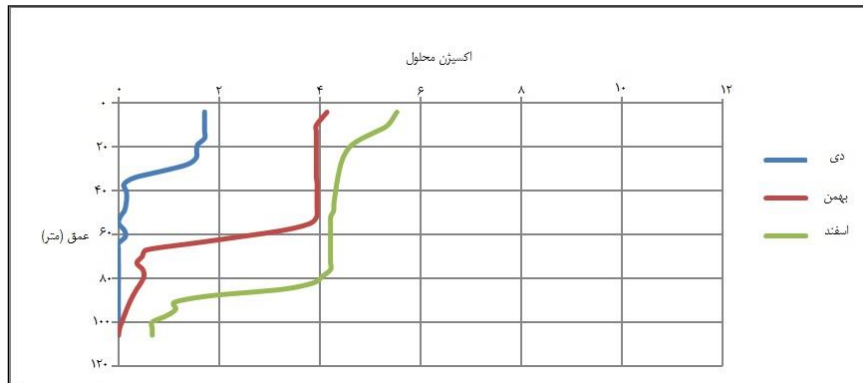


شکل ۶: پروفیل دما در نزدیکی محور سد گرشا در فصل پاییز.

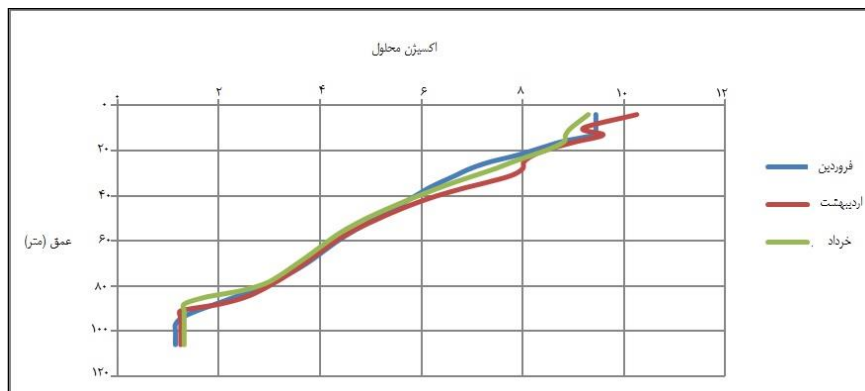


شکل ۷: پروفیل دما در نزدیکی محور سد گرشا در فصل زمستان.

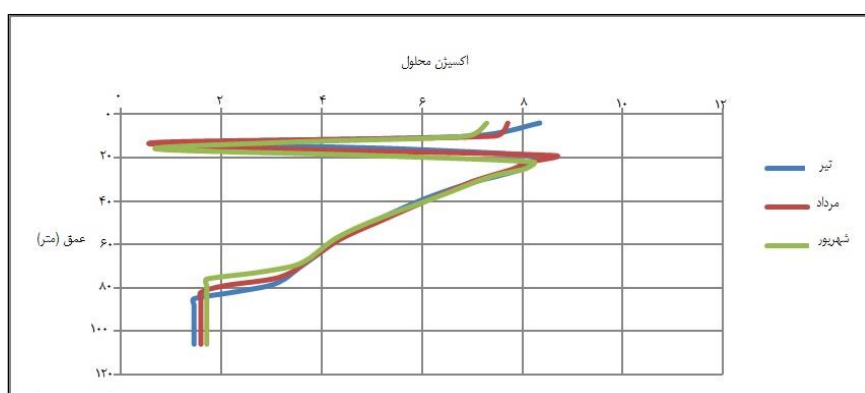
در مرحله بعد میزان اکسیژن محلول در مخزن سد گرشا شبیه‌سازی شد. این پارامتر به عنوان مهم‌ترین پارامتر کیفی از لحاظ حیات آبزیان مخزن اهمیت دارد. به منظور مشاهده نحوه توزیع اکسیژن محلول در مخزن سد، تغییرات غلظت اکسیژن محلول نسبت به عمق مخزن در روزهای مختلف سال مدل‌سازی شد. اکسیژن محلول سیستم از طریق فتوستتر جلبک‌ها و اتمسفر تأمین می‌شود. از طرفی فرآیند نیتریفیکاسیون، تنفس جلبک‌ها و تجزیه مواد آلی محلول باعث مصرف اکسیژن محلول می‌گردد (Kannel, 2011). در شکل‌های شماره ۸ تا ۱۱ پروفیل عمقی تغییرات اکسیژن محلول در ماههای مختلف در محل محور سد گرشا ارائه شده است. مطابق این شکل‌ها در دی‌ماه مخزن از نظر تغییرات DO تقریباً به حالت اختلاط کامل درمی‌آید. غلظت اکسیژن محلول در ماههای فروردین، اردیبهشت و خداداد در سطح آب به شدت افزایش می‌یابد. این امر به علت فتوستتر جلبک‌ها در این ماهها می‌باشد. کمترین اکسیژن محلول در زیر لایه معادل $0.2 \text{ میلی‌گرم در لیتر}$ در ماه دی و آذر رخ می‌دهد و بیشترین اکسیژن محلول در سطح آب در ماه اردیبهشت برابر $10.2 \text{ میلی‌گرم در لیتر}$ می‌باشد.



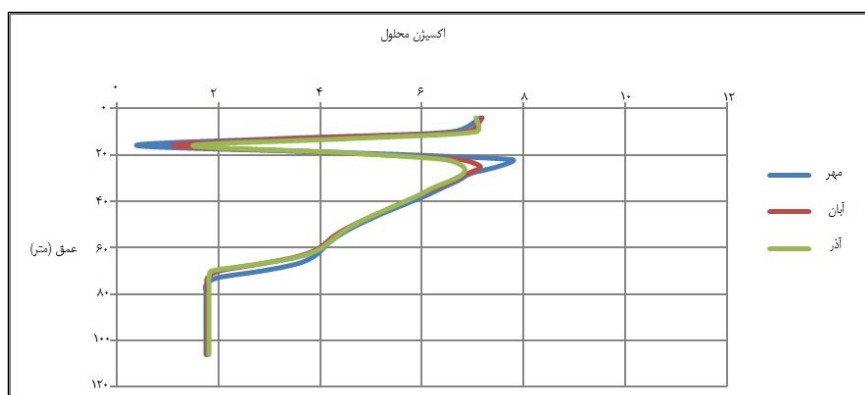
شکل ۸: پروفیل اکسیژن محلول در نزدیکی محور سد گرشا در فصل زمستان.



شکل ۹: پروفیل اکسیژن محلول در نزدیکی محور سد گرشا در فصل بهار.



شکل ۱۰: پروفیل اکسیژن محلول در نزدیکی محور سد گرشا در فصل تابستان.



شکل ۱۱: پروفیل اکسیژن محلول در نزدیکی محور سد گرشا در فصل پاییز.

بحث و نتیجه‌گیری

نتایج مدل شبیه‌سازی لایه‌بندی مخزن سد گرشا در سال یک بار لایه بندی و یک بار اختلاط کامل را نشان می‌دهد و در دسته دریاچه‌های مونومیکتیک قرار می‌گیرد. با توجه به موقعیت کشور ما (از نظر ارتفاع و موقعیت جغرافیایی) بیشتر سدهای کشور در این ناحیه قرار دارند. بامطالعه تغییرات دمای سطح دریاچه‌های مختلف در شرایط آب و هوایی مشابه مشخص شد متوسط دمای روزانه دریاچه‌های مختلف، مشابه است و فقط در بهار تفاوت کوچکی بین آن‌ها وجود دارد. در تابستان دریاچه‌های کوچک‌تر به جذب گرمای سریع تری تعایل دارند (Boehrer, 2005). علاوه بر دما، اکسیژن محلول نیز در این تحقیق مورد شبیه‌سازی قرار گرفت. حضور اکسیژن محلول در آب یک علامت مثبت و عدم حضور آن یک علامت منفی در جهت آلودگی است (Kuo *et al.*, 2006). عالم کمبود شدید اکسیژن محلول تغییر کیفیت آب و فقدان حیات آبزیان در منابع آب است. آب‌های دارای اکسیژن محلول زیاد به عنوان اکوسیستم‌های پایدار و سالم موردنموده بوده و برای مصرف تقریباً در همه‌جا از الوبت برخوردار هستند (Chapman, 2002). بیشتر اکسیژن محلول از اتمسفر وارد آب می‌شود و همچنین تلاطم و خروشان بودن آب نیز به طور قابل ملاحظه‌ای میزان اکسیژن محلول را بالا می‌برد. از سوی دیگر گیاهان و برخی جلبک‌های آبزی نیز طی مدت روز با فرایند فتوسنتز میزان زیادی اکسیژن به صورت محلول وارد آب می‌کنند. دما و دبی آب از مؤثرترین عوامل در تعیین DO هستند. گازها از جمله اکسیژن به راحتی در آب‌های سرد محلول‌اند. لذا منابع آب با دمای پایین‌تر عموماً DO بیشتری دارند (Fuentetaja, 1999). نتایج نشان داد میزان غلظت اکسیژن محلول با افزایش ارتفاع کاهش می‌یابد اما در میان لایه میزان کاهش اکسیژن به دلیل تغییرات دمای فاصله این لایه نسبت به سایر لایه‌ها بیشتر است. بر اساس نتایج مدل شروع لایه‌بندی با شروع فصل گرما می‌باشد. به عبارتی اختلاط تقریباً کاملی در زمستان وجود دارد که فرض لایه‌بندی تابستانه را نیز تأیید می‌کند. این اختلاط کامل زمستانه می‌تواند توجیه‌کننده افزایش DO در لایه‌های پایین‌تر با شروع فصل بهار باشد، به این صورت که وارونگی ایجادشده در لایه‌بندی موجب اختلاط کیفی مخزن شده و غلظت بالای اکسیژن محلول در لایه‌های فوقانی به لایه‌های زیرین مخزن منتقل شده است. بالا بودن DO در لایه‌های فوقانی در کلیه فصول نشان‌دهنده تعامل خوب این لایه‌ها با اتمسفر می‌باشد. تأخیر زمانی مشاهده شده در لایه‌بندی اکسیژن محلول نسبت به لایه‌بندی حرارتی، یک نوع وابستگی موخر را بیان می‌نماید و نشان‌دهنده رابطه علت و معلولی لایه‌بندی حرارتی و لایه‌بندی کیفی می‌باشد. Fataei و همکاران (۲۰۱۴) در تحقیقی تحت عنوان لایه‌بندی حرارتی سد سیمره با استفاده از مدل CE QUAL W2 به نتایج مشابه تحقیق حاضر رسیدند. طبق مطالعات ایشان سد سیمره در سال یکبار با پدیده لایه‌بندی حرارتی و یکبار با پدیده اختلاط کامل روبرو خواهد شد. Ebrahimi و همکاران (۲۰۱۵) نیز در تحقیقی مشابه تحقیق حاضر با عنوان بررسی لایه‌بندی حرارتی در مخزن سد بافت به این نتیجه رسیدند که نه ماه از سال در مخزن سد بافت پدیده لایه‌بندی حرارتی اتفاق می‌افتد. مرور دوست انار کولی و همکاران (۳۹۴) در تحقیق خود به بررسی کیفیت آب رودخانه سفیدرود در محدوده شهرستان رودبار پرداختند که در پژوهش خود به این نتیجه رسیدند که میزان (DO) شاخص سلامتی رودخانه در رودخانه سفیدرود مطلوب بوده و بالاتر از حداقل میزان استاندارد آب شرب WHO بوده است. علیزاده اوصالو و همکاران (۱۳۹۴) در تحقیق خود با عنوان بررسی مقطعی روند تغییرات کیفی آب دریاچه پشت سد ارس پارامترهای دیگری مانند آمونیاک، نیترات و فسفات را نیز مورد بررسی قرار داده و به این نتیجه رسیدند که آب دریاچه سد ارس در رده آب‌های یوتروف قرار دارد. این تحقیق تأکید بیشتری بر روی تغذیه گرایی داشت. شکری و همکاران (۱۳۹۴) در تحقیق خود به شبیه‌سازی کیفی آمونیوم و نیترات در طول رودخانه گرگر با استفاده از مدل QUAL2KW پرداختند و نتایج نشان داد که مدل تطابق خوبی با واقعیت دارد. مدل مورداستفاده در تحقیق حاضر (CE QUAL W2) نیز دارای قابلیت مشابه مدل QUAL2KW می‌باشد و قادر به شبیه‌سازی کیفی و بررسی عکس العمل محیط آبی در اثر ورود آلاینده‌ها می‌باشد و پیشنهاد می‌شود در تحقیقات آینده نتایج کاربرد دو مدل برای محیط یکسان جهت ارزیابی و مقایسه مدل‌های مذکور، مورد بررسی قرار گیرد.

منابع

شکری، س..، هوشمند، ع. و معاخد، د..، ۱۳۹۴. شبیه‌سازی کیفی آمونیوم و نیترات در طول رودخانه گرگر با استفاده از مدل QUAL2KW . فصلنامه علمی پژوهشی اکوپولوژی تالاب، سال ششم، شماره ۲۳، صفحات ۵۷-۶۸.

علیزاده اوصالو، ز..، پورآذری، ع..، نکوئی فرد، ع..، صیدگر، م..، یحیی زاده، ی..، شیری، ص.. و علیزاده کلشنانی، م..، ۱۳۹۴. بررسی مقطعی روند تغییرات کیفی آب دریاچه پشت سد ارس. فصلنامه علمی پژوهشی اکوپولوژی تالاب، سال ششم، شماره ۲۳، صفحات ۵-۱۴.

مروت دوست انار کولی، م..، حائزی پور، س.. و امیر نژاد، رضا..، ۱۳۹۴. بررسی کیفیت آب رودخانه سفیدرود در محدوده شهرستان رودبار. فصلنامه علمی پژوهشی اکوپولوژی تالاب، سال هفتم، شماره ۵۲، صفحات ۳۳-۴۲.

Bartram, J., 1996. Water Quality Monitoring: Practical Guide to the Design and Implementation of Freshwater Quality Studies and Monitoring Program. Taylor & Francis.

Boehrer, B., 2005. Path of the 2002 Mulde flood through Lake Goitsche, Germany. Verhandlungen des International Verein Limnology, 29: 369–372.

Caruso, B., 2000. Integrated assessment of phosphorus in the Lake Hayes catchment, South Island New Zealand. Journal of Hydrology, 229(3): 168-89.

Chapman, D.V., 2002. Water quality assessments (WQA): a guide to the use of biota, sediments, and water in environmental monitoring. 2th Ed. Britain, London, E & FN Spon.

Chung, S. W. and Oh, J. K., 2006. Calibration of CE-QUAL-W2 for a Monomictic reservoir in a monsoon climate area. Journal of Water Science and Technology, 54: 29-37.

Cole, T. M. and Wells, S. A., 2008. CE-QUAL-W2 a two-dimensional, laterally averaged. Hydrodynamic and Water Quality Model. Version 3.6, User Manual. Instruction Report, Prepared for U.S. Army Corps of Engineers Washington, DC.

Dai, L., Dai, H. and Jiang, D., 2012. Temporal and spatial variation of thermal structure in Three Gorges Reservoir: a simulation approach. J. Food Agriculture Environment, 10 (2): 1174–117.

Diogoa, P. A., Fonsecab, M., Coelhoa, P. S., Mateusa, N. S., Almeidaa, M. C. and Rodriguesa, A. C., 2008. Reservoir phosphorous sources evaluation and water quality modeling in a Tran's boundary watershed. Desalination, 226: 200–214.

Ebrahimi, M., Jabbari, E. and Abbas, H., 2015. Simulation of Thermal Stratification and Salinity in Dam Reservoir Using CE-QUAL-W2 Software (Case study: Baft Dam). Journal of Civil Engineering and Urbanism, 5(1): 7-11.

Fataei, E., Ansari Moghadam, D. and Nasehi, F., 2014. Prediction of thermal stratification of Seymareh Damusing CEQUAL-W2 Model. Advances in Bioresearch, 5(1): 150-159.

Gelda, R. K., Brooks, C. M., Effler, S. W. and Auer, M. T., 2000. Interannual variations in nitrification in a hyper eutrophic urban lake: occurrences and implications. Water research. 34(4): 1107-18.

Huang, Y. and Liu, L., 2008. Sensitivity analysis for the identification of important parameters in a water quality model. 2nd International Conference on Bioinformatics and Biomedical Engineering, ICBBE. 3131-3134.

Imboden, D. M. and Wu'est, A., 1995. Mixing mechanisms in lakes, in Physics and Chemistry of Lakes. Springer Verlag. 83-138Roberts, R.D., 2003. Perspectives on Environmental Monitoring in Freshwater Management, Springer.pp. 23-82.

Kannel, P. R., 2011. A Review of Public Domain Water Quality Models for Simulating Dissolved Oxygen in Rivers and Streams. Journal of Environmental Model Assessment, 16: 183–204.

Kuo, J. T., Lung, W. S., Yang, C. P., Liu, W. C., Yang, M. D. and Tang, T. S., 2006. Eutrophication modeling of reservoirs in Taiwan. Environmental Modeling and Software, 21: 829-844.

Kurup, R. G., Hamilton, D.P. and Phillips, R.L., 2000. Comparison of two 2-dimensional, laterally averaged hydrodynamic model applications to the Swan River Estuary. Mathematics and Computers in Simulation, 51: 627–638.

Palmer, M. D., 2001. Water Quality Modeling: Guide to Effective Practice. World Bank Publications.

Pe'rez-Fuentetaja, A., 1999. Significance of dissolved organic carbon in the prediction of thermocline depth in small Canadian Shield lakes. *Journal of Aquatic Ecology*, 33(2):127–133.

Rockwell, D. C., 2005. The US EPA Lake Erie indicators monitoring program 1983-2002: Trends in phosphorus, silica, and chlorophyll a in the central basin. *Journal of Great Lakes Research*, 31(2): 23-34.

Vice President of Strategic Planning and Control (VPSPC),, 2003. Reservoir water quality monitoring guidelines, 522: 140-47.

Zhang, Z. and Johnson, B. E., 2014. Aquatic Nutrient Simulation Modules (NSM) Developed for Hydrologic and Hydraulic Models. ERDC/EL TR-14-X. U.S. Army Engineer Research and Development Center, Vicksburg, MS.

